·流行病学·

上海市女性骨量变化与骨质疏松检出率

虞进波 章振林 张浩 胡伟伟 胡云秋 李淼 黄琪仁 刘玉娟 何进卫 顾洁梅 高杲

中图分类号:R681 ;R814.4 文献标识码:A 文章编号:1006-7108(2008)04-0258-05

摘要:目的 在了解上海市女性骨密度(BMD) 变化规律基础上 探讨使用不同年龄段峰值 BMD 作为诊断标准时 比较骨质疏松检出率的差异。方法 采用 Hologic QDR-2000 双能 X 线吸收仪测量3 390 例 $20 \sim 84$ 岁女性腰椎 1-4(L_{14})后前位和左侧股骨近端(Total, Neck, Troch 和 Inter)BMD 值 确定峰值 BMD 出现的年龄段 在此基础上统计分析骨质疏松检出率。结果 以 5 岁年龄段分组分析显示: L_{14} 峰值 BMD 出现在 $30 \sim 34$ 岁年龄段 为 0.989 g/cm² 股骨近端各部位峰值 BMD 均出现在 $20 \sim 24$ 岁年龄段 分别为 0.878 g/cm²、0.806 g/cm²、0.655 g/cm² 和 1.019 g/cm²,以上述峰值 BMD 作为标准时 2 317例 $50 \sim 84$ 岁妇女 L_{14} 、Total、Neck、Troch 和 Inter 骨质疏松检出率分别为 42.2%、15.1%、13.4%、9.4% 和 13.1%。而以 $20 \sim 39$ 岁年龄段 BMD 作为峰值分析显示: L_{14} 、Total、Neck、Troch 和 Inter 均值 BMD 分别为 0.962 g/cm²、0.844 g/cm²、0.776 g/cm²、0.626 g/cm² 和 0.984 g/cm² 2 317例 $50 \sim 84$ 岁妇女 L_{14} 、Total、Neck、Troch 和 Inter 骨质疏松检出率分别为 29.3%、18.3%、14.9%、16.0% 和 16.1%。以 5 岁年龄段分组与以 $20 \sim 39$ 岁年龄段 BMD 作为峰值比较,骨质疏松检出率在 L_{14} 、Total、Troch、Inter 部位差异均有统计学意义。而 Neck 部位差异无统计学意义。结论 以不同年龄段 BMD 作为峰值时,骨质疏松检出率存在差异 临床以 BMD 来诊断骨质疏松时 应关注该问题。

关键词:骨密度;骨质疏松;双能 X 线吸收仪;女性

The changes of bone mineral density and prevalence of osteoporosis in women from Shanghai city YU Jinbo ,ZHANG Zhenlin ,ZHANG Hao ,et al . The Department of Osteoporosis ,Osteoporosis Research Unit , The Sixth People's Hospital ,Shanghai 200233 ,China

Abstract: Objective To compare the prevalence of osteoporosis by using different age-interval BMD as the diagnostic criteria on the basis of age-related changes in BMD from Shanghai women. Methods The BMD in the posteroanterior lumbar spine 1-4 and left proximal femus (including Total ,Neck ,Troch and Inter) was measured using Hologic QDR-2000 dual energy X-ray absorptiometry (DXA) in a total of 3 390 women aged 20 ~ 84 years old. To select different age-interval BMD as peak BMD and calculate the prevalence of osteoporosis. Results Crossing-sectional data analysis in stratified 5-year age intervals revealed that the peak BMD of posteroanterior lumbar spine 1-4 occurring at 30 ~ 34 years was 0.989 g/cm² and left proximal femur (Total ,Neck ,Troch and Inter) appearing at 20 ~ 24 years were 0.878 g/cm² ρ .806 g/cm² ρ .655 g/cm² and 1.019 g/cm² , respectively. The prevalence of osteoporosis in 2 317 subjects ranging from 50 ~ 84 years were 42.2% at Spine ,15.1% at Total hip , 13.4% at Neck 9.4% at Troch ,and 13.1% at Inter , respectively. Using the mean BMD of the $20\sim39$ years old group as the peak BMD revealed that the value of BMD in L₁₋₄ and left proximal femun Total Neck Troch and Inter) were 0.962 g/cm², 0.844 g/cm², 0.776 g/cm², 0.626 g/cm² and 0.984 g/cm², respectively. The prevalence of osteoporosis in 2 317 subjects ranging from 50 ~ 84 years were 29.3% at Spine, 18.3% at Total hip , 14.9% at Neck ,16.0% at Troch and 16.1% at Inter , respectively. Comparison of the two methods showed that statistical differences existed in the prevalence of osteoporosis at most skeletal sites. Conclusion Statistical differences existed in the prevalence of osteoporosis using different age-interval BMD as the diagnostic criteria. To

基金项目 :国家自然科学基金资助项目(30771019 30570891)

作者单位:200233 上海,上海市第六人民医院骨质疏松科和骨质疏松研究室

通讯作者:章振林 ,Email ZZL2002@medmail.com.cn

diagnose osteoporosis in clinic ,this issue should be taken into consideration.

Key words: Bone mineral density; Osteoporosis; Dual energy X-ray absorptiometry; Women

骨质疏松症是一种以低骨量和骨组织微细结构破坏为特征,导致骨骼脆性增加和容易发生骨折的全身性疾病。双能 X 线吸收仪检测的骨密度(bone mineral density,BMD)是诊断骨质疏松症的金指标,根据 WHO 建议:低于同性别峰值 BMD 2.5 个标准差诊断为骨质疏松,低于 1 至 2.5 个标准差诊断为骨量减少[1]。因此,峰值 BMD 的确定非常重要,而国际上尚未规定必须是采取哪一年龄段 BMD 作为标准,一般是 20~39岁,但争论较多。国内鲜有这方面的研究报道[24],而这恰恰对临床诊断具有重要意义。笔者的目的是在了解上海市女性 BMD 变化规律基础上,探讨选取不同年龄段 BMD 作为峰值时,比较骨质疏松检出率是否存在差异。

1 材料和方法

1.1 对象

1994年1月至2007年5月在上海市通过张贴广告招募志愿者,所有对象均详细填写表格,询问病史,同时进行体格检查和实验室常规检查(血钙、血磷、碱性磷酸酶、甲状旁腺激素及肝肾功能等),排除影响骨代谢的疾病,包括糖尿病、甲状腺、甲状旁腺疾病等,以及服用影响骨代谢的药物(糖皮质激素、雌激素、双膦酸盐等)和制动等因素后,入选3390例女性志愿者,年龄在20~84岁之间,我们将上述人群以5岁年龄段分为一组,共13组。

1.2 BMD 测定

采用 Hologic QDR-2000 型双能 X 线吸收仪测量 L_{14} 后前位及左侧股骨近端全髋部(Total) 股骨颈

(Neck) 大转子(Troch)和转子间(Inter)。精确度测定是通过测量 7 位志愿者 $L_{1.4}$ 后前位及左侧股骨近端 BMD ,每位志愿者重复测量 5 次 ,每次重新定位 , $L_{1.4}$ 、Total、Neck、Troch 和 Inter 部位 BMD 测量的变异系数分别为 0.97%、0.80%、1.93%、1.48% 和 $1.31\%^{[5.6]}$ 。

1.3 统计学处理

采用 SPSS 11.5 软件进行统计学处理 以不同年龄段 BMD 为峰值时骨质疏松检出率是否存在差异用卡方检验 ;不同骨骼部位 BMD 与年龄、身高、体重的关系用 Pearson 相关分析 ;各骨骼部位 BMD 随年龄的变化关系分别采用直线回归、对数回归、二次回归、三次回归、复合回归、幂回归、增长回归和指数回归同时拟合 R^2 值决定最优拟合曲线 P < 0.05 表示差异具有统计学意义。

2 结果

2.1 身高、体重和体重指数分布

3 390例女性身高、体重和体重指数的分布情况见表 1。

2.2 各部位 BMD 峰值和变化趋势

以 5 岁为年龄段分组 ,各年龄段各部位 BMD 均值和标准差见表 2。

2.2.1 以 5 岁年龄段分组分析显示: L_{1-4} BMD 峰值 出现在 30~34 岁年龄段 ,为(0.989 ± 0.094) g/cm^2 , 低于峰值 2.5 个标准差为诊断标准 ,骨质疏松诊断 阈值为 0.754 g/cm^2 ;Total、Neck、Troch 和 Inter 峰值 BMD 均出现在 20~24 岁年龄段 ,分别为($0.878 \pm$

| 表 1 上海市女性身高、体重和体重指数的分布 | | | | | | | |
|------------------------|-------|--------------|-------------------|--------------|------------------|--|--|
| 年龄组(岁) | 人数(例) | 年龄(岁) | 身高(cm) | 体重(kg) | 体重指数(kg/m²) | | |
| 20 ~ 24 | 61 | 22.65 ± 1.38 | 160.70 ± 4.82 | 52.62 ± 6.16 | 20.37 ± 2.21 | | |
| 25 20 | 121 | 27 38 ± 1 35 | 150 57 ± 4 71 | 53 71 ± 6 84 | 21.00 ± 2.47 | | |

| 20 ~ 24 | 61 | 22.65 ± 1.38 | 160.70 ± 4.82 | 52.62 ± 6.16 | 20.37 ± 2.21 |
|---------|-------|------------------|-------------------|------------------|------------------|
| 25 ~ 29 | 121 | 27.38 ± 1.35 | 159.57 ± 4.71 | 53.71 ± 6.84 | 21.09 ± 2.47 |
| 30 ~ 34 | 133 | 32.28 ± 1.43 | 160.10 ± 4.98 | 54.55 ± 6.30 | 21.29 ± 2.29 |
| 35 ~ 39 | 147 | 37.61 ± 1.43 | 159.57 ± 5.18 | 56.41 ± 8.24 | 22.15 ± 3.02 |
| 40 ~ 44 | 226 | 42.91 ± 1.40 | 158.86 ± 5.91 | 58.59 ± 7.57 | 23.21 ± 2.68 |
| 45 ~ 49 | 385 | 47.53 ± 1.43 | 157.98 ± 5.24 | 58.60 ± 7.56 | 23.47 ± 2.68 |
| 50 ~ 54 | 446 | 52.46 ± 1.43 | 156.78 ± 5.16 | 59.62 ± 7.93 | 24.24 ± 2.94 |
| 55 ~ 59 | 461 | 57.64 ± 1.40 | 155.14 ± 5.27 | 57.65 ± 8.17 | 23.93 ± 3.04 |
| 60 ~ 64 | 512 | 62.43 ± 1.37 | 154.17 ± 5.69 | 57.19 ± 8.39 | 24.04 ± 3.13 |
| 65 ~ 69 | 427 | 67.35 ± 1.39 | 153.26 ± 5.07 | 57.73 ± 8.80 | 24.56 ± 3.42 |
| 70 ~ 74 | 300 | 72.04 ± 1.33 | 151.91 ± 6.11 | 56.16 ± 8.84 | 24.32 ± 3.51 |
| 75 ~ 79 | 143 | 76.97 ± 1.48 | 149.74 ± 5.69 | 53.33 ± 7.80 | 23.79 ± 3.29 |
| 80 ~ 84 | 28 | 81.85 ± 1.47 | 148.80 ± 5.92 | 52.63 ± 7.16 | 23.73 ± 2.60 |
| 合计 | 3 390 | 55.49 ± 13.36 | 155.59 ± 6.32 | 57.29 ± 8.41 | 23.65 ± 3.18 |

| 年龄组(岁) | L_{1-4} | Total | Neck | Troch | Inter |
|---------|-------------------|-------------------|-------------------|-------------------|-------------------|
| 20 ~ 24 | 0.933 ± 0.111 | 0.878 ± 0.113 | 0.806 ± 0.110 | 0.655 ± 0.099 | 1.019 ± 0.132 |
| 25 ~ 29 | 0.940 ± 0.097 | 0.835 ± 0.085 | 0.759 ± 0.087 | 0.619 ± 0.070 | 0.977 ± 0.108 |
| 30 ~ 34 | 0.989 ± 0.094 | 0.838 ± 0.082 | 0.771 ± 0.089 | 0.626 ± 0.072 | 0.975 ± 0.101 |
| 35 ~ 39 | 0.967 ± 0.095 | 0.843 ± 0.099 | 0.782 ± 0.101 | 0.619 ± 0.077 | 0.982 ± 0.115 |
| 40 ~ 44 | 0.975 ± 0.110 | 0.853 ± 0.103 | 0.793 ± 0.112 | 0.635 ± 0.083 | 0.993 ± 0.125 |
| 45 ~ 49 | 0.946 ± 0.116 | 0.837 ± 0.105 | 0.772 ± 0.102 | 0.622 ± 0.089 | 0.975 ± 0.124 |
| 50 ~ 54 | 0.878 ± 0.122 | 0.805 ± 0.109 | 0.731 ± 0.106 | 0.593 ± 0.089 | 0.947 ± 0.134 |
| 55 ~ 59 | 0.806 ± 0.110 | 0.739 ± 0.103 | 0.665 ± 0.091 | 0.540 ± 0.082 | 0.877 ± 0.129 |
| 60 ~ 64 | 0.769 ± 0.113 | 0.698 ± 0.095 | 0.625 ± 0.085 | 0.509 ± 0.074 | 0.828 ± 0.121 |
| 65 ~ 69 | 0.753 ± 0.119 | 0.675 ± 0.096 | 0.605 ± 0.083 | 0.488 ± 0.075 | 0.805 ± 0.122 |
| 70 ~ 74 | 0.738 ± 0.121 | 0.647 ± 0.102 | 0.583 ± 0.087 | 0.469 ± 0.081 | 0.767 ± 0.128 |
| 75 ~ 79 | 0.759 ± 0.127 | 0.637 ± 0.102 | 0.568 ± 0.073 | 0.455 ± 0.082 | 0.764 ± 0.133 |
| 80 ~ 84 | 0.759 ± 0.111 | 0.636 ± 0.081 | 0.565 ± 0.064 | 0.453 ± 0.064 | 0.759 ± 0.109 |

表 2 各年龄段各部位的 $BMD(g/cm^2)$

0.113) g/cm²、(0.806 ± 0.110) g/cm²、(0.655 ± 0.099) g/cm² 和(1.019 ± 0.132) g/cm² ,骨质疏松诊断阈值分别为 0.596 g/cm²、0.531 g/cm²、0.408 g/cm² 和 0.689 g/cm²(表 3)。

表 3 不同骨骼部位使用两种不同标准时的 骨质疏松诊断阈值(g/cm²)和检出率

| | L_{1-4} | Total | Neck | Troch | Inter | | | |
|---------------------|-----------|-------|-------|-------|-------|--|--|--|
| 以 5 岁年龄段分组分析 | | | | | | | | |
| 峰值 | 0.989 | 0.878 | 0.806 | 0.655 | 1.019 | | | |
| 诊断阈值 | 0.754 | 0.596 | 0.531 | 0.408 | 0.689 | | | |
| 检出人数 | 997 | 358 | 310 | 219 | 303 | | | |
| 检出率 | 42.2% | 15.1% | 13.4% | 9.4% | 13.1% | | | |
| 以 20~39 岁 BMD 为峰值分析 | | | | | | | | |
| 峰值 | 0.962 | 0.844 | 0.776 | 0.626 | 0.984 | | | |
| 诊断阈值 | 0.715 | 0.609 | 0.536 | 0.431 | 0.704 | | | |
| 检出人数 | 678 | 424 | 346 | 371 | 374 | | | |
| 检出率 | 29.3% | 18.3% | 14.9% | 16.0% | 16.1% | | | |

注 5 岁年龄段 BMD 峰值 L_{1-4} 出现在 $30\sim34$ 岁 ,Total、Neck、Troch 和 Inter 出现在 $20\sim24$ 岁

2.2.2 以 $20 \sim 39$ 岁(462 例人数)BMD 为峰值分析显示: $L_{1.4}$ 、Total、Neck、Troch 和 Inter 部位 BMD 分别为(0.962 ± 0.099) g/cm^2 、(0.844 ± 0.094) g/cm^2 、(0.776 ± 0.096) g/cm^2 、(0.626 ± 0.078) g/cm^2 和(0.984 ± 0.112) g/cm^2 ,骨质疏松诊断阈值分别为0.715 g/cm^2 、0.609 g/cm^2 、0.536 g/cm^2 、0.431 g/cm^2 和0.704 g/cm^2 (表 3)。

2.2.3 骨密度随年龄的变化情况: L_{1-4} 从 $30 \sim 34$ 岁出现峰值 BMD 到 $70 \sim 74$ 岁 40 年内 BMD 累计下降 25.4%, 丢失较快的年龄段出现在 $50 \sim 54$ 岁(为 7.2%)和 $55 \sim 59$ 岁(为 8.2%)。Total、Neck、Troch 和 Inter 在 $20 \sim 24$ 岁出现峰值 BMD 后下降较快,然后逐渐上升 $40 \sim 44$ 岁后再次下降,从 $20 \sim 24$ 岁出现峰值 BMD 累计下降分别为 27.6%、29.9%、30.8%和 25.5%;股骨近端各部位在 $25 \sim 29$ 岁出现骨量下降(Total 为 4.9%、Neck为 5.8%、Troch 为 5.5%和 Inter 为 4.1%),骨量丢失

最快出现在 55 ~ 59 岁(Total 为 8.2%、Neck 为 9.0%、Troch 为 8.9%和 Inter 为 7.4%)。

2.3 骨质疏松检出率

2 317例 50~84 岁妇女以两种不同年龄段 BMD 为峰值时骨质疏松检出率(表 3)。

以 5 岁年龄段与以 $20 \sim 39$ 岁年龄段 BMD 为峰值比较,骨质疏松检出率在 $L_{1.4}$ 、Total、Troch 和 Inter部位差异有统计学意义(P < 0.05);而 Neck 部位差异无统计学意义。

2.4 各参数 Pearson 相关分析

Height Weight

不同骨骼部位 BMD 与年龄、身高、体重的相关性经 Pearson 分析显示,各部位 BMD 与年龄均呈负相关;与身高和体重均呈正相关(表4)。

表 4 各参数间 Pearson 分析结果

Total

 L_{1-4}

Neck

Troch

Inter

| Age | _ | | | | | | | |
|-----------|---------|---------|---------|---------|---------|---------|---------|---|
| Height | - 0.459 | _ | | | | | | |
| | (0.000) | | | | | | | |
| Weight | 0.008 | 0.391 | _ | | | | | |
| | (0.653) | (0.000) | | | | | | |
| L_{1-4} | - 0.558 | 0.398 | 0.290 | _ | | | | |
| | (0.000) | (0.000) | (0.000) | | | | | |
| Total | -0.567 | 0.391 | 0.381 | 0.768 | _ | | | |
| | (0.000) | (0.000) | (0.000) | (0.000) | | | | |
| Neck | - 0.594 | 0.408 | 0.336 | 0.746 | 0.910 | _ | | |
| | (0.000) | (0.000) | (0.000) | (0.000) | (0.000) | | | |
| Troch | - 0.571 | 0.385 | 0.327 | 0.780 | 0.941 | 0.852 | _ | |
| | (0.000) | (0.000) | (0.000) | (0.000) | (0.000) | (0.000) | | |
| Inter | - 0.515 | 0.359 | 0.387 | 0.714 | 0.976 | 0.846 | 0.881 | _ |
| | (0.000) | (0.000) | (0.000) | (0.000) | (0.000) | (0.000) | (0.000) | |
| | | | | | | | | |

注 表格内为相关系数 括号内为 P 值

2.5 BMD 随年龄变化的拟合曲线

分别采用直线回归、对数回归、二次回归、三次回归、复合回归、幂回归、增长回归和指数回归同时拟合各骨骼部位 BMD 随年龄的变化关系,发现这 8种回归模型均有拟合作用,其中三次回归模型在各

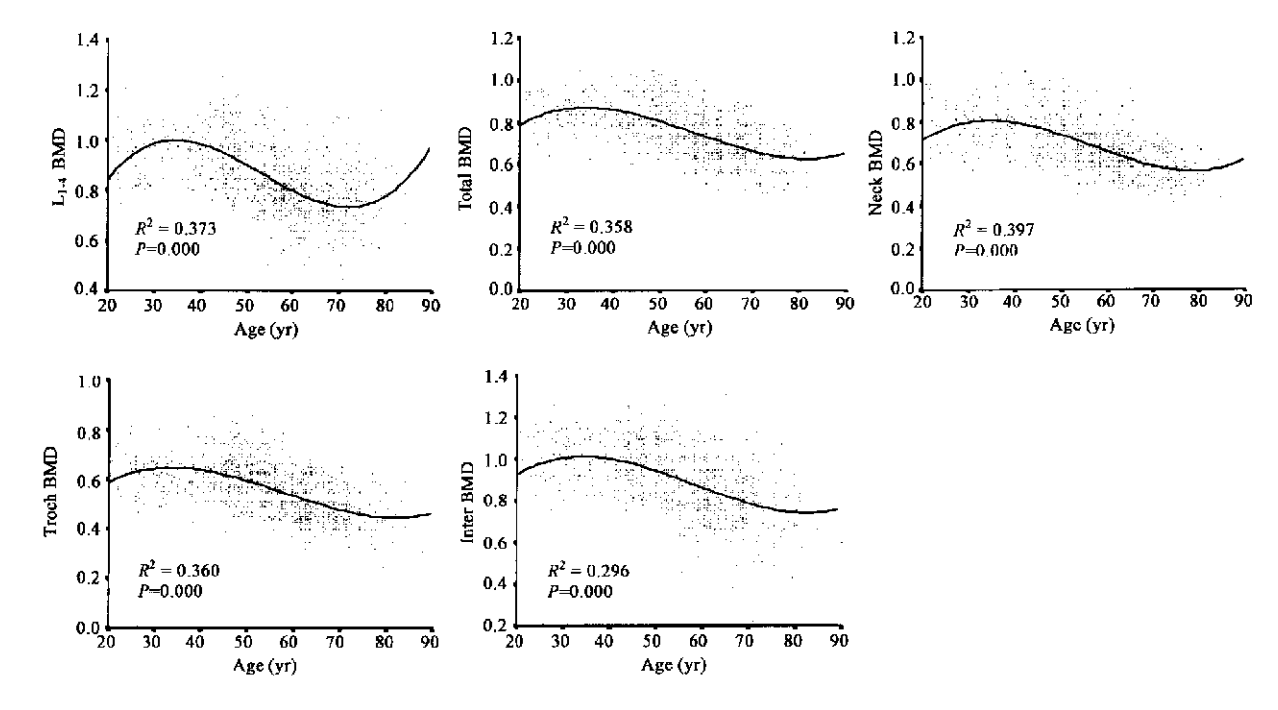


图 1 各部位 BMD 随年龄变化的散点图及三次回归模型拟合曲线

骨骼部位的拟合程度最好,即决定系数(R^2)总是最大(图 1)。

3 讨论

笔者发现上海市女性不同部位峰值 BMD 出现 的年龄不同, L.4峰值 BMD 出现在 30~34 岁年龄段, 要早于日本妇女(35~39岁)[7]和中国长沙地区女 性(35~39岁)[2];上海市女性股骨近端各部位峰值 BMD 均出现在 20~24 岁年龄段,与美国白种人群相 同®,而日本女性 Total、Neck 和 Troch 峰值出现在 15~19岁年龄段, Inter 峰值出现在 40~44 岁年龄 段[7]。L...峰值 BMD 较股骨近端出现晚,这可能与 两部位皮质骨和松质骨组成成分不同有关。上海市 女性 L_{1.4} 峰值 BMD (0.989 g/cm²) 高于长沙地区 (0.974 g/cm²)[2],而与香港地区基本相同(0.99 g/cm²)[9].这些差异可能归因于不同地区的环境因 索,如饮食钙摄入量等存在差别。而上海和长沙地 区股骨近端各部位峰值 BMD 基本相同。与上海市 男性相比,女性 La峰值 BMD 与男性相似,但股骨近 端各部位峰值 BMD 低于男性[6]。

 $L_{1.4}$ BMD 在 30~34 岁出现峰值到 70~74 岁累计下降 25.4%,50~60 岁之间出现一快速骨量丢失,而在 75~84 岁略有上升,可能与随年龄加重的骨关节炎和骨质增生有关 $^{[10]}$;上海市男性 $L_{1.4}$ 峰值

BMD 出现在 20~24 岁年龄段, L₁₄ BMD 从 20 岁到 89 岁相对平稳,下降趋势不明显。。Total、Neck、Troch和 Inter 从 20~24 岁出现峰值到 80~84 岁 BMD 累计下降分别为 27.6%、29.9%、30.8%和 25.5%,骨量丢失最快出现在 55~59 岁年龄段,可能为绝经后雌激素急剧减少所致。同时,笔者发现 Total、Neck、Troch和 Inter 在 25~29 岁年龄段有一快速骨量丢失,与 Arlot等[11]的研究一致,年丢失率分别为 1.00%、1.19%、1.13%和 0.83%,可能是女性在妊娠和哺乳时骨量丢失较快所致,但 L₁₄ 没有此现象,同笔者以前的研究一致¹¹²。

 $L_{1.4}$ 和股骨近端各部位 BMD 与年龄均呈负相关 $(R^2 = 0.265 \sim 0.353, P = 0.000)$,与身高 $(R^2 = 0.129 \sim 0.166, P = 0.000)$ 和体重 $(R^2 = 0.084 \sim 0.150, P = 0.000)$ 均呈正相关,这与以前的报道相同[2.8]。高龄和低体重是髋部骨折的重要危险因子[13],年龄对 BMD 的影响大于身高和体重。

为比较两种方法在骨质疏松检出率的差别,在2317例50~84岁妇女中,笔者以5岁年龄段分组将L₁₋₄(30~34岁)和股骨近端各部位(20~24岁)作为峰值,以及使用20~39岁年龄段作为峰值,发现在Neck部位两组检出率的差别无统计学意义;L₁₋₄以5岁年龄段分组为峰值BMD的骨质疏松检出率要高于以20~39岁年龄段;但Total、Troch和Inter部位,则以20~39岁年龄段为峰值BMD的骨质疏松检出

率为高。当然,无论使用何种方法,不同骨骼部位骨质疏松检出率存在差异,腰椎部位骨质疏松检出率高于股骨近端各部位,这与其他的研究一致^{3,14}],这是由于腰椎以松质骨为主,绝经或者增龄有关的骨量丢失要显著多于股骨近端各部位。同时,在使用这两种方法来确定峰值 BMD 时 笔者也注意到影响不同部位骨质疏松的检出率,除 BMD 均值外,还有一个重要的因素是所获得的标准差的大小,这不仅依赖于正常峰值期人群的良好选择和样本量的大小,而且还取决于人为的或所使用仪器的误差等。在本研究中笔者良好控制了误差,使用两种方法时,各部位峰值期 BMD 的标准差是较小的,要低于国外普遍采用的 NHANES Ⅲ 骨密度参考数据库^[8]。此外,所选择的峰值期的人群也有足够大的样本量,因此,本研究提供的数据是可靠的。

WHO 骨质疏松的诊断标准为 BMD 低于峰值 2.5 个标准差 ,说明骨质疏松的诊断标准取决于峰值 BMD 和标准差的大小。以哪个年龄范围 BMD 为峰值尚存在争议 ,有以 5 岁年龄段确定峰值 BMD ¹⁵¹ ,也有把 20~39 岁均值 BMD 定为峰值 ¹⁶¹ ,伍 贤平等 ⁴¹提出用 BMD 随年龄变化的拟合曲线方程计算最高 BMD。笔者以不同的标准计算出来的骨质疏松诊断阈值不同 ,得到的骨质疏松检出率差异有统计学意义 结果势必会影响我们对骨质疏松的诊断和干预治疗。因此 ,需要更多的研究确定不同骨骼部位峰值 BMD 发生和维持的时间 ,尤其是开展前瞻性研究以了解 BMD 与骨折发生的关系 ,从而确立中国女性骨质疏松的诊断标准。

【参考文献】

- [1] World Health Organization. Assessment of fracture risk and its application to screening for postmenopausal osteoporosis. WHO technical report series 843. Geneva :WHO ,1994 ,10-12.
- [2] Liao EY ,Wu XP ,Deng XG ,et al. Age-related bone mineral density , accumulated bone loss rate and prevalence of osteoporosis at multiple skeletal sites in Chinese women. Osteoporos Int ,2002 ,13(8):669-676
- [3] Wu XP ,Liao EY ,Zhang H ,et al . Determination of age-specific bone

- mineral density and comparison of diagnosis and prevalence of primary osteoporosis in Chinese women based on both Chinese and World Health Organization criteria. J Bone Miner Metab 2004 22(4) 382-301
- [4] 伍贤平 廖二元 黄干 等.女性不同骨骼部位骨密度峰值和参考图的建立方法.中国骨质疏松杂志 2004,10(1)30-34.
- [5] Qin YJ, Shen H, Huang QR, et al. Estrogen receptor alpha gene polymorphism and peak bone density in Chinese nuclear families. J Bone Miner Res 2003, 18(6):1028-1035.
- [6] Zhang ZL, Qin YJ, Huang QR, et al. Bone mineral density of the spine and femur in healthy Chinese men. Asian J Androl, 2006, 8 (4) 419-427.
- [7] Iki M, Kagamimori S, Kagawa Y, et al. Bone mineral density of the spine hip and distal forearm in representative samples of the Japanese female population: Japanese Population-Based Osteoporosis (JPOS) Study. Osteoporos Int 2001, 12(7) 529-537.
- [8] Looker AC ,Wahner HW ,Dunn WL ,et al. Updated data on proximal femur bone mineral levels of US adults. Osteoporos Int ,1998 &(5): 468-489.
- [9] Lynn HS Jau EM Au B et al. Bone mineral density reference norms for Hong Kong Chinese. Osteoporos Int 2005, 16(12):1663-1668.
- [10] Wishart JM , Need AG , Horowitz M , et al. Effect of age on bone density and bone turnover in men. Clin Endocrinol(Oxf), 1995 ,42 (2):141-146.
- [11] Arlot ME, Sornay-Rendu E, Garnero P, et al. Apparent pre- and postmenopausal bone loss evaluated by DXA at different skeletal sites in women the OFELY cohort. J Bone Miner Res, 1997, 12(4) 683-690.
- [12] 黄琪仁 周琦 陆敬辉 等.2111 例上海健康女性骨密度值测定 与年龄相关骨丢失的研究,中国骨质疏松杂志,2002,8(3): 191-194.
- [13] Joakimsen RM ,Fonnebo V ,Magnus JH , et al. The Tromsø study: Body height ,body mass index and fracture. Osteoporos Int ,1998 ,8 (5) 436-442.
- [14] Greenspan SL, Maitland-Ramsey L, Myers E. Classification of osteoporosis in the elderly is dependent on site-specific analysis. Calcif Tissue Int, 1996, 58(6) 409-414.
- [15] Orimo H, Hayashi Y, Fukunaga M, et al. Diagnostic criteria for primary osteoporosis 'year 2000 revision. J Bone Miner Metab 2001, 19(6) 331-337.
- [16] Deleze M ,Cons-Molina F ,Villa AR , et al. Geographic differences in bone mineral density of Mexican women. Osteoporos Int ,2000 ,11 (7) 562-569.

(收稿日期 2007-11-15)